## 蒸発法による黒ボク土の不飽和水分移動特性の推定

## Inverse estimation of the evaporation method for unsaturated hydraulic properties for Andisols

## 星野隆文<sup>\*</sup> Rudiyanto<sup>\*</sup> 坂井勝<sup>\*\*</sup> 取出伸夫<sup>\*</sup> Takafumi Hoshino, Rudiyanto, Masaru Sakai, and Nobuo Toride

はじめに 技性の評価が必要である。我が国に広く分布する 火山灰土の黒ボク土は、発達した団粒構造のため、階段状の水分保持曲線を持つ。団粒土の不 飽和水分移動特性には Durner モデル(Durner, 1994)が提案されているが、特に不飽和透水係 数の推定に関する研究例は少ない。そこで本研究では、黒ボク土の蒸発過程の土中水圧力変 化から水分移動特性を逆解析により推定する蒸 発法により、Durner モデルのパラメータの推定手 法を検討した。そして、推定結果に基づき異なる 黒ボク土の不飽和水分移動特性について比較 検討した。

**試料と方法** [**蒸発法**] 試料には, 茨城, 熊本, 三重, 長野の黒ボク土を用いた。それぞれの試料の水分保持曲線は,吸引法,加圧板法,水ポテンシャル(WP)法により測定した。蒸発実験は, 内径 4cm, 高さ 16cm のアクリルカラムに試料を充填し, 蒸留水で毛管飽和した。下端フラックスをゼロとして, カラム上端からの蒸発過程の土中水圧力と蒸発速度を測定した。

[逆解析]Durner モデルの水分保持曲線と不飽和透水係数は次式で与えられる。

$$\begin{split} S_{e} &= \frac{\theta - \theta_{r}}{\theta_{s} - \theta_{r}} = w_{1} \left[ 1 + \left( \alpha_{1} h \right)^{n_{1}} \right]^{-m_{1}} + w_{2} \left[ 1 + \left( \alpha_{2} h \right)^{n_{2}} \right]^{-m_{2}} \\ K\left( S_{e} \right) &= K_{s} \left( w_{1} S_{e1} + w_{2} S_{e2} \right)^{\ell} \\ \times \frac{\left( w_{1} \alpha \left[ 1 - \left( 1 - S_{e1}^{1/m_{1}} \right)^{m_{1}} \right] + w_{2} \alpha_{2} \left[ 1 - \left( 1 - S_{e2}^{1/m_{2}} \right)^{m_{2}} \right] \right)^{2}}{\left( w_{1} \alpha + w_{2} \alpha_{2} \right)^{2}} \end{split}$$

9 個のパラメータを持つ Durner モデルは,水分保持曲線と不飽和透水係数に対して自由度が高い反面,逆解析によりすべてのパラメータを同時に推定することは困難である。そこで,まず残留体積含水率 $\theta$ ,はゼロと仮定し,また飽和体積含水率 $\theta$ 。は,蒸発実験の初期含水率とした。その上で,水分保持曲線に関する残りの 5 個のパラメータ, $\alpha$ 1,n1,w2, $\alpha$ 2,n2</sub>を水分保持曲線の実測値に対して非線形最小二乗法により決定した。図 1 は,茨城,熊本黒ボク土の水分保持曲線の実測値と Durner モデルの適合曲線である。

蒸発過程の土中水圧力の変化に対する逆解析に対しては、水分保持曲線より求めたパラメータ値を初期値として、飽和透水係数  $K_s$  と間隙結合係数  $\ell$  を加えたパラメータを推定した。逆解析は、 $\ell$  を加えたパラメータを推定した。逆解析は、 $\ell$  を加えたパラメータを推定した。逆解析は、 $\ell$  を加えたパラメータを表すの1段目を表すの2、 $\ell$  について、推定パラメータを最大7個まで段階的増やしながら比較検討し、最適な推定結果を選択した。また、 $\ell$  の初期値は、正と負の値を与え、結果を比較した。逆解析には、不飽和水分移動汎用プログラム HYDRUS-1D を用い、上端の境界条件は実測した蒸発速度、下端の境界条件はゼロフラックスとした。

**結果と考察** 図 1 には,茨城,熊本黒ボク土の 逆解析により修正した水分保持曲線を併記した。 どちらの土も,水分保持曲線の 1 段目の体積含 水率が3~5%程度増加すると,蒸発過程の土中 水圧力変化をよく再現できた。図2は,熊本黒ボ ク土の蒸発過程圧力変化に対する適合結果で ある。表 1 は、4 種類の黒ボク土 Durner モデルのパラメータの推定値である。また、図 3 は不飽和透水係数の推定結果である。4 種類の黒ボク土の不飽和透水係数は、団粒構造を反映した 2 段の階段状の水分保持曲線に対応した形状を示した。ただし、 $\ell$  は黒ボク土により大きく異なる。

広い土中水圧力範囲に対して精度の高い水 分保持曲線が得られれば、逆解析における適切 な初期値を与えることができる。このとき,不飽和透水係数は, $K_s$  と $\ell$  以外のパラメータを推定に加えても変化は小さい。これは,黒ボク土に対する Mualem の不飽和透水係数推定モデルの妥当性を示す。ただし,水分保持曲線の 1 段目の水分量は,蒸発過程の圧力変化に大きな影響を与えるため,加圧板での測定精度も考慮した逆解析結果の比較検討が必要である。

表 1 4 種類の黒ボク土の乾燥密度と蒸発法による Durner モデルのパラメータの推定結果 Table 1 Bulk densities and the Durner model parameters based on the evaporation method for four Andisols.

	$\rho_{\rm b}({\rm gcm}^{-3})$	$\theta_r$	$\theta_s$	$\alpha_1$ (cm <sup>-1</sup> )	$n_1$	w 2	$\alpha_2$ (cm <sup>-1</sup> )	$n_2$	$K_s$ (cmd <sup>-1</sup> )	l
Ibaraki	0.48	0	0.762	0.0527	3.47	0.715	1.49×10 <sup>-3</sup>	1.34	89	3.67
Kumamoto	0.48	0	0.776	0.0575	2.35	0.624	$1.35 \times 10^{-4}$	1.50	379	0.0156
Mie	0.75	0	0.640	0.110	2.83	0.488	5.20×10 <sup>-4</sup>	1.29	1674	1.43
Nagano	0.77	0	0.669	0.0113	2.68	0.607	$5.58 \times 10^{-4}$	1.27	23	2.34
0.8						0.8	_			

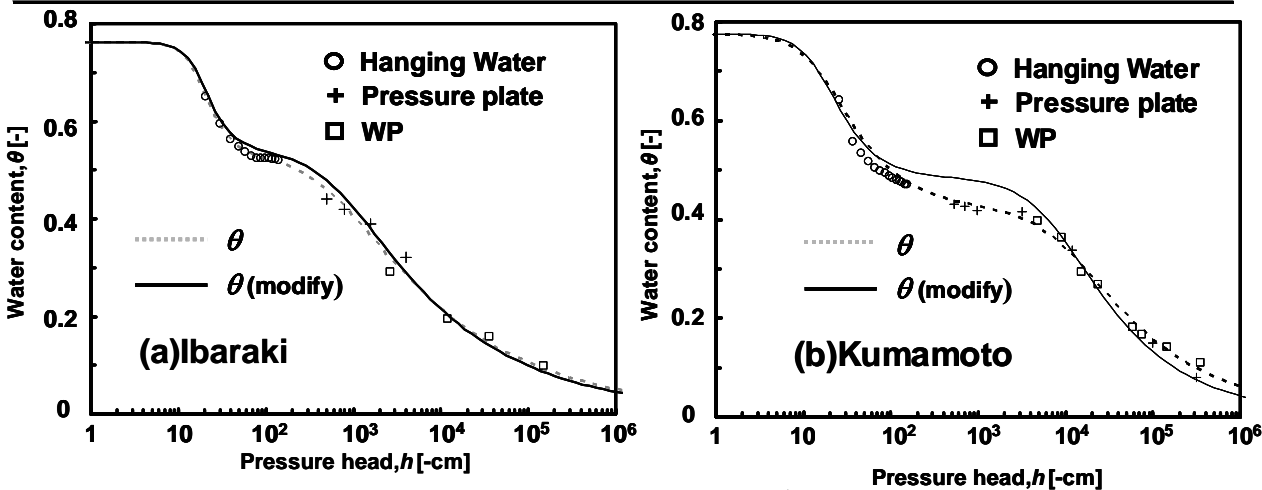


図 1 水分保持曲線 (a)茨城 , (b)熊本黒ボク土 Fig.1Soil water retention curves for (a)Ibaraki, (b)Kumamoto Andisols.

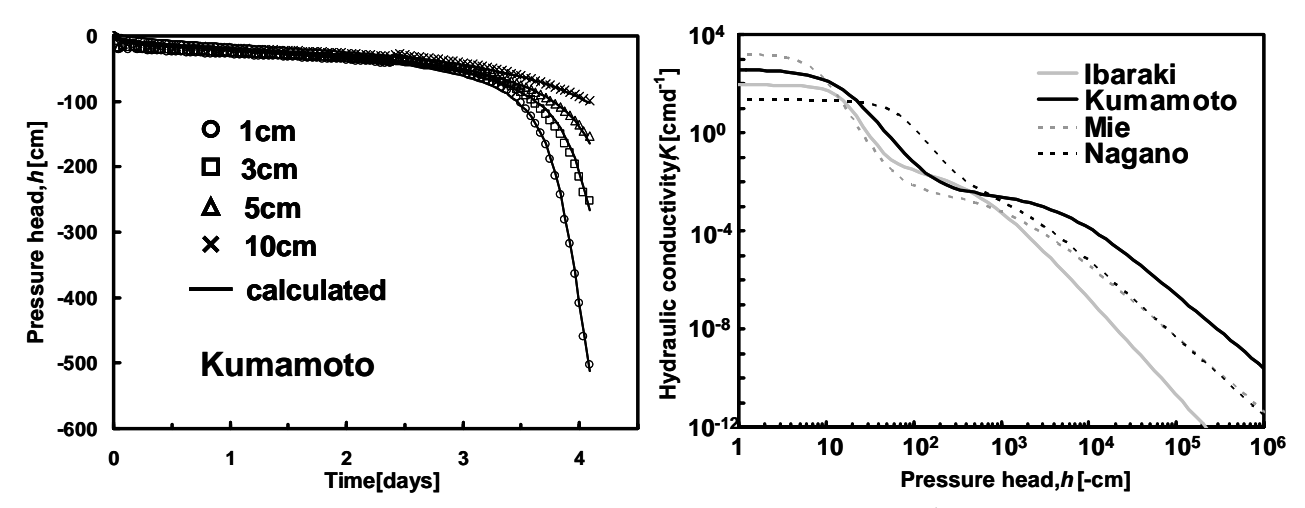


図 2 熊本黒ボク土の蒸発過程における土中水圧力変化 Fig.2 Pressure heads changes during the evaporation process.

図3 推定した黒ボク土の不飽和透水係数 Fig. 3 Unsaturated hydraulic conductivities based on the evaporation method.

参考文献: Durner, Water Res. Res. 30: 211-223, 1994.